

# روشی نوین در بهبود نتایج آشکارسازی تغییرات با تلفیق تصاویر اپتیک و رادار و بکارگیری روشنی بدون نظارت و مبتنی بر الگوریتم PSO

سعید محمودی زاده<sup>۱</sup>

علی اسماعیلی<sup>۲</sup>

تاریخ دریافت مقاله: ۹۹/۰۴/۰۴

تاریخ پذیرش مقاله: ۹۹/۰۷/۲۹

\*\*\*\*\*

چکیده

اطلاعات حاصل از آشکارسازی تغییرات در مناطق شهری تأثیر بسزایی در برنامه‌ریزی و مدیریت شهری خواهد داشت. مناطق شهری به دلیل تنوع پدیده‌ها، انواع پوشش سطح به عنوان یک منطقه پیچیده در نظر گرفته می‌شوند که کسب اطلاعات از این مناطق همواره با چالش‌هایی روبه رو می‌باشد. از این رو این احتمال وجود داد که در صورت استفاده مستقل از داده‌های اپتیک و رادار در بحث آشکارسازی تغییرات، بعضی از مناطق تغییر یافته تشخیص داده نشوند یا نتایج کاذب از خود ارائه دهند. با توجه به مزیت تلفیق داده‌های اپتیک و رادار و همچنین بکارگیری روشن‌های بدون نظارت در بحث آشکارسازی تغییرات، در پژوهش حاضر به توسعه روشنی بدون نظارت جهت تلفیق داده‌های اپتیک و رادار با هدف تشخیص تغییرات پرداخته شد. به این منظور ویژگی‌هایی از تصاویر اپتیک و رادار استخراج و وارد الگوریتم C<sup>2</sup>VA شد. در ادامه برای هر یک از ویژگی‌های ورودی به بخش C<sup>2</sup>VA یک وزن با استفاده از الگوریتم PSO برآورد گردید. خروجی روشن پیشنهادی تصویر تک باندی با محتوای اطلاعاتی بالاتر خواهد بود که بعد از اعمال حد آستانه OTSU به دو کلاس تغییر یافته و بدون تغییر تفکیک می‌شود. روشن پیشنهادی با دیگر روشن‌های آشکارسازی تغییرات، مقایسه و مورد ارزیابی قرار گرفت. یافته‌های این پژوهش نشان دهنده کارایی و صحت بالای روشن توسعه داده شده جهت تشخیص تغییرات می‌باشد به گونه‌ای که نسبت پیکسل‌های اشتباه شناسایی شده به کل پیکسل‌ها داده‌ای ارزیابی ۹/۲۱ درصد بوده که دارای پایین‌ترین مقدار است و صحت کلی طبقه‌بندی و ضریب کاپا به ترتیب با ۰/۸۱۹، ۹۰/۷۹ به عنوان بالاترین مقادیر، نسبت به دیگر روشن‌های مورد استفاده در پژوهش حاضر می‌باشد.

واژه‌های کلیدی: آشکارسازی تغییرات، تلفیق داده‌ها، بدون نظارت، OTSU، C<sup>2</sup>VA.

\*\*\*\*\*

## ۱- مقدمه

و انتخاب حد آستانه بهینه می‌باشد. عدم توجه لازم به مرحله پیش پردازش داده‌ها در فرآیند آشکارسازی تغییرات، باعث ایجاد تغییرات کاذب و کاهش صحت نتایج خواهد شد. همچنین انتخاب نامناسب حد آستانه تأثیر بسزایی در صحت نتایج خواهد داشت (*Ilsever and Ünsalan, 2012*). مناطق شهری به لحاظ تنوع پدیده‌ها، انواع پوشش زمین، شکل و الگو، به عنوان یک چشم انداز پیچیده شناخته شده است (*Mhangara et al, 2013; Xie and Fu, 2011*) و رادار به طور مستقل برای بررسی تغییرات سطح زمین استفاده می‌گردد، اما با توجه به پیچیده بودن این نواحی این احتمال وجود دارد که مناطق تغییر یافته در صورت استفاده از یک سنسور تشخیص داده نشود. با توجه به اطلاعات متفاوتی که این دو سنسور از هر پدیده سطح زمین ضبط می‌کنند می‌توان آن‌ها را مکمل یکدیگر دانست و با تلفیق داده‌های این دو سنسور (رادار و چند طیفی) تشخیص مناطق تغییر یافته، بهبود پیدا کند (مناطقی و همکاران، ۱۳۹۵).

شکرالهی و همکاران در پژوهشی تحت عنوان تلفیق داده‌های پلاریمتری<sup>۱</sup> SAR و ابرطیفی به منظور طبقه‌بندی پوشش زمین، با استفاده از دو روش تلفیق در سطح ویژگی و تصمیم‌گیری برای دو منبع داده‌ی RADARSAT2 و هایپریون اقدام به طبقه‌بندی منطقه‌ی شهری سانفرانسیسکو نمودند. نتایج نشان داد که در هر دو روش تلفیق، صحت طبقه‌بندی منطقه‌ی شهری مورد مطالعه نسبت به هر منبع داده به تنهایی، افزایش می‌یابد (شکرالهی و همکاران، ۱۳۹۳).

Wu و همکاران جهت بررسی تغییرات مناطق شهری از روش‌های<sup>۲</sup> CVA<sup>۳</sup>، ISFA<sup>۴</sup>، IRMAD<sup>۵</sup> استفاده کرد، با توجه به عدم اطمینان و متفاوت بودن نتایج حاصل از این سه روش، به تلفیق خروجی این سه روش و نقشه شیء‌گرا با استفاده از تئوری DS<sup>۶</sup> پرداخت (*Wu et al, 2018*).

1- Synthetic Aperture Radar

2- Change Vector Analysis

3- Iterative Slow Feature Analysis

4- Iteratively Reweighted Multivariate Alteration Detection

5- Dempster Shafer

بررسی تغییرات ایجاد شده سطح زمین یکی از زمینه‌های پرکاربرد در علم سنجش از دور می‌باشد که از طریق مطالعه دو یا چند تصویر اخذ شده در زمان‌های گوناگون انجام می‌شود. اطلاعات حاصل از این‌ها به دلیل کاربردهای گوناگون در زمینه‌های مختلف از اهمیت بسزایی برخوردار هستند (*Xu et al, 2000; Jet et al, 2008*). با توجه به گسترش روزافزون جمعیت و مهاجرت روستاییان به مناطق شهری، بررسی و نظارت بر تغییرات شهری به منظور بررسی وضعیت گسترش فیزیکی شهر و تخریب محیط زیست و جلوگیری از روند توسعه بی‌رویه شهر، امروزه یک عمل ضروری و مهم به نظر می‌رسد (نیمروزی، ۱۳۹۱). برای پایش تغییرات شهری نیاز به اطلاعات جامع و دقیقی می‌باشد که از نتایج تحلیل آن برای برنامه‌ریزی و مدیریت شهری به منظور تصمیم‌گیری در ارائه خدمات و تسهیلات و همچنین جلوگیری از ساخت و سازهای غیرمجاز و خارج حريم تعیین شده، استفاده شود (*Jantz et al, 2003*). به طور کلی روش‌های پایش و آشکارسازی تغییرات را می‌توان به دو دسته نظارت شده و بدون نظارت تقسیم‌بندی کرد.

روش‌های آشکارسازی تغییرات نظارت شده بر پایه روش‌های طبقه‌بندی نظارت شده بوده که نیازمند داده‌هایی جهت آموزش الگوریتم طبقه‌بندی می‌باشند. از این رو در سال‌های سپری شده بکارگیری روش‌های بدون نظارت و توسعه این روش‌ها بدلیل عدم استفاده از داده‌های آموزشی، محبوبیت بالایی پیدا کرده است. تصاویر حاصل از روش‌های بدون نظارت با استفاده از روش‌های حد آستانه گذاری به تصویر باینری تبدیل می‌شوند که مناطق تغییر یافته و بدون تغییر را متمایز می‌سازد (*Radke et al, 2005; Sallaba, 2009; Chen et al, 2012*)

لازم به ذکر است که تنها انتخاب روش مناسب آشکارسازی تغییرات نمی‌تواند صحت بالای نتایج را تضمین کند، آنچه که نسبت به انتخاب روش مناسب در تحلیل و پردازش اهمیت بسزایی دارد، مرحله پیش پردازش

## فصلنامه علمی - پژوهشی اطلاعات جغرافیایی (میراث)

روشی نوین در بهبود نتایج آشکارسازی ... ۹ /

تشخیص تغییرات، می‌توان استفاده تنها از داده‌های یک سنجنده که در تحقیقات گذشته مورد استفاده قرار گرفته است را به عنوان یک نقص بر شمرد. همچنین روش‌های پیاده‌سازی شده در تحقیقات گذشته، جهت تلفیق داده‌ای رادار و اپتیک و حد آستانه‌گذاری به منظور تشخیص تغییرات از یک سری نقص و کاستی‌هایی برخوردار هستند. به عنوان مثال در بعضی از این پژوهش‌ها از روش‌هایی استفاده شده که نیاز به وارد کردن یک سری پارامتر یا داده آموزشی (طبقه‌بندی نظارت شده) توسط اپراتور می‌باشد، که همانگونه که اشاره شد در روش‌های نظارت شده مهارت و تجربه اپراتور جهت تعیین پارامترها و جمع‌آوری داده‌های آموزشی، تأثیر بسزایی بر روی نتایج خواهد داشت. در پژوهش حاضر به منظور غلبه بر مشکلات و نقص‌های تحقیقات گذشته روشی بدون نظارت و خودکار جهت تشخیص تغییرات شهری با بکارگیری تصاویر راداری و اپتیک مورد استفاده و ارزیابی قرار گرفت.

### ۲- مبانی نظری تحقیق

در این بخش به معروفی و آموزش استخراج ویژگی‌های طیفی (شاخص‌های طیفی) مورد استفاده جهت تشخیص تغییرات، روش<sup>۱</sup> NDR، روش آنالیز بردار تغییرات (CVA)، روش حد آستانه گذاری OTSU و تلفیق داده در سطح تصمیم‌گیری پرداخته می‌شود.

### ۲-۱- شاخص‌های طیفی

شاخص‌های طیفی حاصل یک محاسبه ریاضی بین دو یا چند باند طیفی می‌باشند که بواسطه آن پدیده مورد نظر بارزتر می‌شود (اسدی و همکاران، ۱۳۹۷). در جدول ۱ نحوه محاسبه شاخص‌های طیفی<sup>۲</sup> NDVI, SAVI<sup>۳</sup>, ARVI<sup>۴</sup>, NDBI<sup>۵</sup> و NDWI<sup>۶</sup> که جهت مطالعه و تشخیص در سه زمینه

Soufianes و همکاران در پژوهشی با عنوان پایش بیابان‌زایی در الجزیره با استفاده از تصاویر لندست<sup>۷</sup> و سنتینل<sup>۸</sup>، به این نتیجه دست یافتند که تصاویر رادار اطلاعات اضافی ارزشمندی به تصاویر نوری شامل زبری خاک و رطوبت را اضافه می‌کند و باعث بهبود نتایج می‌شود (Soufianes et al, 2018).

Yousif و همکاران مقاله‌ای با عنوان تلفیق تصاویر رادار و اپتیک به منظور شناسایی تغییرات به صورت نظارت نشده، ارائه نمودند. در پژوهش فوق بعد از طبقه‌بندی تصاویر با استفاده از روش‌های k-mean<sup>۹</sup> و SVM<sup>۱۰</sup> روش‌های تلفیق در سطح تصمیم‌گیری و در سطح ویژگی مورد بررسی قرار گرفت. نتایج حاصله نشان داد که تلفیق در سطح تصمیم‌گیری دارای صحت بالاتری نسبت به سطح ویژگی می‌باشد (Yousif et al, 2017).

در سال ۲۰۱۴، Karnieli و همکاران در مقاله‌ای با عنوان (تغییرات زمانی و مکانی کاربری و پوشش زمین در کشور چین با استفاده از روش آنالیز بردار تغییرات)، به بررسی تغییرات مکانی و زمانی در محدوده صحراهای در چین پرداخت (Karnieli et al, 2014). در سال ۲۰۱۴ Mishra و همکاران در مقاله‌ای با عنوان «تلفیق داده‌های رادار و نوری به منظور تشخیص خودکار تغییر الگو»، تشخیص خودکار نوع تغییرات در منطقه شهری را عملی بسیار مهم بر شمردند، اما با توجه به تنوع و پیچیده بودن الگوهای اراضی شهری این عمل چالش‌برانگیز است. با استفاده از سنسور تصویربرداری رادار و نوری می‌توان اطلاعات منحصر به فرد از سطح زمین جمع‌آوری کرد که با توجه به رابطه بین پاسخ هر یک از این دو سنسور از پدیده‌های سطح زمین امکان تشخیص نوع تغییر به صورت خودکار فراهم خواهد شد (Mishra and Susaki, 2014).

در سال‌های اخیر پژوهش‌های متعددی در زمینه آشکارسازی تغییرات با بکارگیری تصاویر اپتیک و رادار به صورت منفرد توسط محققین این زمینه انجام شده است. با توجه به مزیت استفاده همزمان داده‌های رادار و اپتیک در بحث

2- Normalized Difference Ratio

3- Soil Adjusted Vegetation Index

4- Atmospherically Resistant Vegetation Index

5- Normalized Difference Built-up Index

6- Normalized Difference Water Index

1- Support Vector Machine

جدول ۱: شاخص‌های طیفی

ردیف	توضیحات	شاخص
اسدی و همکاران، ۱۳۹۷	مقادیر بازتاب در باند مادون قرمز نزدیک و RED مقادیر بازتاب در باند قرمز می‌باشد.	$NDVI = \frac{NIR - RED}{NIR + RED}$
ایمانی و همکاران، ۱۳۹۷	L فاکتور تصحیح اثرات خاک است. مقدار L برای پوشش تنک برابر ۱ و برای پوشش متوسط برابر ۵/۰ و برای پوشش گیاهی انبوه برابر ۰/۲۵ یا در نظر گرفته می‌شود.	$SAVI = \frac{(NIR - RED)(1+L)}{(NIR + RED + L)}$
Xue and Su, 2017	مقادیر بازتاب در باند آبی Blue	$ARVI = \frac{(NIR - (2*RED - BLUE))}{(NIR + (2*RED - BLUE))}$
Zha et al, 2010	SWIR مقدار بازتاب در باند مادون قرمز موج کوتاه می‌باشد.	$NDBI = \frac{SWIR - RED}{SWIR + RED}$
اصغری سراسکانرو و همکاران، ۱۳۹۷	در رابطه فوق GREEN مقادیر بازتاب در باند سبز می‌باشد.	$NDWI = \frac{GREEN - NIR}{GREEN + NIR}$

پوشش گیاهی، آب و مناطق مسکونی کارآمد می‌باشند، ارائه علاوه بر تعیین بزرگی تغییرات (m)، جهت (α) آن‌ها را نیز نشان دهد (روابط ۳ و ۴). روش فوق بر روی دو تصویر قابل اعمال می‌باشد و در صورتی که تعداد تصاویر بیشتر از دو عدد باشند، لازم است که یکی از تصاویر به عنوان تصویر مرجع انتخاب و روش مذکور بر روی هر از تصاویر دیگر نسبت به آن تصویر اجرا شود (Malila, 1980).

$$m = \sqrt{x_{m,D}^2 + x_{n,D}^2} \quad (2)$$

$$\alpha = \tan^{-1} \left( \frac{x_{m,D}}{x_{n,D}} \right) \quad (3)$$

در روابط فوق  $x_{m,D}$  و  $x_{n,D}$  مربوط به اختلاف باندهای n, m در دو تصویر اخذ شده در زمان‌های متفاوت می‌باشد. CVA می‌باشد را با هدف حفظ اطلاعات موجود در تمامی باندهای طیفی و بکارگیری همزمان تمامی آن‌ها، ارائه کرد (روابط ۴ و ۵) (Bovolo et al, 2012).

$$m = \sqrt{\sum_{i=1}^n x_{diff}^2} \quad (4)$$

$$\alpha = \cos^{-1} \left[ \frac{1}{\sqrt{n}} \left( \frac{\sum_{i=1}^n x_{diff}}{\sqrt{\sum_{i=1}^n x_{diff}^2}} \right) \right] \quad (5)$$

۲-۲-آشکارسازی تغییرات با استفاده از داده‌های راداری یکی از راه‌های کاهش اثر نویر در آشکارسازی تغییرات انتخاب اپراتور نسبت به جای تفاضل است، بخصوص در

تصاویر راداری به دلیل ماهیت ضرب شوندگی نویز لکه‌ای (اسپیکل)، اپراتور نسبت، عملکرد بهتری نسبت به اپراتور تفاضل خواهد داشت (تعجبی و حسنلو، ۱۳۹۷). Mishra در سال ۲۰۱۴ جهت نرمال کردن اپراتور نسبت تصاویر، از رابطه ۱

استفاده کرد. در این رابطه مقادیر پیکسل‌ها در بازه ۱-۱ تا

+ ۱ قرار دارند و فاصله مقادیر پیکسل‌ها از عدد صفر نشان

دهنده تغییرات است (Mishra and Susaki, 2014).

$$NDR(t1, t2) = \frac{A_{t2} - A_{t1}}{A_{t2} + A_{t1}} \quad (1)$$

در روابط فوق  $A_{t1}$  و  $A_{t2}$  بیانگر تصویری است که در زمان‌های t1 و t2 از یک منطقه جغرافیایی یکسان اخذ شده است.

۳-۲-روش آنالیز بردار تغییرات (C<sup>2</sup>VA، CVA)

روش آنالیز بردار تغییرات یکی از مطرح ترین روش‌ها جهت آشکارسازی تغییرات به شمار می‌رود که می‌تواند

## فصلنامه علمی - پژوهشی اطلاعات جغرافیایی (جغرافیا)

روشی نوین در بهبود نتایج آشکارسازی ... ۱۱ / ۱

پیکسل های تغییر یافته (C1) و بدون تغییر (C0) را با توجه به واریانس کلاس های مربوط بیشینه می کند (Otsu, 1979).

یک تصویر بدست آمده از قدر مطلق اختلاف دو باند را می توان به عنوان یکتابع شدت در نظر گرفت که شامل N پیکسل با درجات خاکستری بین ۱ تا L-1 می باشد. اگر تعداد پیکسل هایی با درجه خاکستری  $\alpha$  را با  $f_\alpha$  نمایش دهیم، رابطه (۶) احتمال درجه خاکستری  $\alpha$  را در تصویر بدست آمده از قدر مطلق اختلاف دو باند نشان می دهد.

$$P_\alpha = \frac{f_\alpha}{N} \quad (6)$$

اگر حد آستانه بهینه را با  $t$  نشان دهیم، کلاس پیکسل های بدون تغییر C0 شامل جمع احتمالات درجه خاکستری  $[1, \dots, t]$  و کلاس پیکسل های تغییر یافته C1 شامل جمع احتمالات درجه خاکستری  $[t+1, \dots, L]$  می باشد. بر همین اساس توزیع احتمال درجات خاکستری دو کلاس تغییر یافته و بدون تغییر به صورت روابط ۷ و ۸ است.

$$C_0 = \frac{P_1}{W_0(t)} \cdot \frac{P_2}{W_0(t)} \cdot \frac{P_3}{W_0(t)} \cdot \dots \cdot \frac{P_t}{W_0(t)} \quad (7)$$

$$C_1 = \frac{P_{t+1}}{W_1(t)} \cdot \frac{P_{t+2}}{W_1(t)} \cdot \frac{P_{t+3}}{W_1(t)} \cdot \dots \cdot \frac{P_{L-1}}{W_1(t)} \quad (8)$$

در ادامه بعد از محاسبه احتمال دو کلاس تغییر یافته و بدون تغییر ( $w_0(t), w_1(t)$ ) با استفاده از روابط ۹ و ۱۰، از روابط ۱۱ و ۱۲ جهت برآورد میانگین دو کلاس مورد نظر استفاده می شود.

$$w_0(t) = \sum_{i=1}^t P_i \quad (9)$$

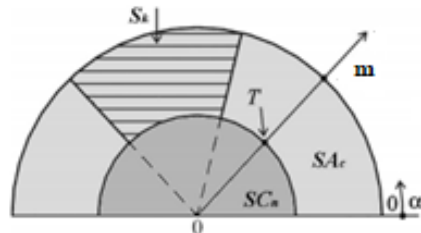
$$w_1(t) = \sum_{i=t+1}^L P_i \quad (10)$$

$$\mu_0(t) = \sum_{i=1}^t i \frac{P_i}{W_0(t)} \quad (11)$$

$$\mu_1(t) = \sum_{i=t+1}^L i \frac{P_i}{W_1(t)} \quad (12)$$

در نهایت حد آستانه بهینه در بهینه OTSU به صورت

در روابط فوق  $m$  و  $\alpha$  به ترتیب نشان دهنده بزرگی و جهت تغییرات هستند،  $x_{\text{diff}}$  بیانگر اختلاف یک باند که در زمان های  $t1, t2$  اخذ شده و  $[1, \dots, n]$  معرف تعداد باندهای طیفی می باشند. دامنه تغییرات  $m$  و  $\alpha$  را می توان به صورت نگاره ۱ نمایش داد. در نگاره ۱، نشان دهنده بزرگی تغییرات می باشد، که با تعیین حد آستانه بهینه T، دو کلاس مناطق تغییر یافته ( $SA_c$ ) و بدون تغییر ( $SC_n$ ) مشخص می شوند. مناطق تغییر یافته ( $SA_c$ ) خود شامل مجموعه ای از انواع تغییرات می باشند که در بازه  $0 \leq \alpha \leq \pi$  جای گرفته اند که با استفاده از روش های طبقه بندی می توان تغییرات را تقسیم بندی کرد (به عنوان مثال  $S$ ).



نگاره ۱: شماتیک روش آنالیز بردار تغییرات (Bovolo et al, 2012)

### ۴-۲- روشن حد آستانه گذاری

معمولاً یکی از روش هایی که برای تشخیص تغییرات از تصاویر اختلاف مورد استفاده قرار می گیرند، روش های حد آستانه گذاری می باشد. برخلاف ساده بودن این روش، همواره روش های حد آستانه گذاری با دشواری هایی همراه است و تعیین مقدار بهینه آن به صورت سعی و خططا تعیین می شود. در پژوهش پیش رو برای تعیین حد آستانه بهینه برای مشخص کردن کلاس تغییر و بدون تغییر از حد آستانه اتسو استفاده شد که در ادامه این روش تشریح می شود.

### ۴-۱- حد آستانه گذاری OTSU

این روش، روشی مؤثر در انتخاب خودکار آستانه بهینه با بیشینه کردن واریانس بین کلاسی و کمینه کردن واریانس داخل کلاسی پیکسل ها است. به عبارت دیگر جداسازی

بدون تغییر را با استفاده از شروط مندرج در روابط ۱۵

تعیین کرد (Zhang et al, 2010)

$$\text{if } x_1(i,j) \leq t_1 \ \& x_2(i,j) \leq t_2 \ \& \dots \dots x_n(i,j) \leq t_n \quad (15)$$

$$x_{(i,j)} \in C_0$$

$$\text{else } x_{(i,j)} \in C_1$$

در رابطه فوق  $x_{(i,j)}$  بیانگر اختلاف بین باندهای تصویر در زمان‌های متفاوت در  $n$  باند طیفی می‌باشد.

## ۶- الگوریتم بهینه‌سازی ازدحام ذرات PSO

الگوریتم PSO یک الگوریتم جستجوی جمعیت مبنای است که براساس رفتار اجتماعی دسته‌های پرنده‌گان مدل شده است. در الگوریتم PSO، ذرات در فضای جستجو پخش می‌شوند. تغییر مکان ذرات در فضای جستجو تحت تأثیر تجربه و دانش خودشان و همسایگانشان است. بنابراین موقعیت دیگر توده ذرات روی چگونگی جستجوی یک ذره اثر می‌گذارد. اساس کار PSO بر این اصل استوار است که در هر لحظه هر ذره مکان خود را در فضای جستجو با توجه به بهترین مکانی که تاکنون در آن قرار گرفته است و بهترین مکانی که در کل همسایگی‌اش وجود دارد، تنظیم می‌کند (Poli et al, 2007; Engelbrecht, 2007).

به عبارت دیگر ذرات برای یافتن بهترین موقعیت در فضای جستجو باهم تعامل می‌نمایند تا در نهایت براساس تابع تعریف شده به بهترین جواب دست پیدا کنند. در این الگوریتم هر ذره مطابق با معادلات سرعت(رابطه ۱۶) و موقعیت(رابطه ۱۷) در فضای جستجو حرکت می‌کند.

$$\begin{aligned} V_{ij}(t+1) &= W_{ij}(t) * V_{ij}(t) + C_1 * r_1(t) * [pbest(t) - X_{ij}(t)] \\ &+ C_2 * r_2(t) * [gbest(t) - X_{ij}(t)] \end{aligned} \quad (16)$$

$$X_{ij}(t+1) = X_{ij}(t) + V_i(t+1) \quad (17)$$

در روابط فوق  $V_{ij}(t)$  سرعت ذره  $i$  در بعد  $j$  در زمان  $t$  است،  $W_{ij}(t)$  وزن اینرسی ذره  $i$  در بعد  $j$  می‌باشد که

رابطه ۱۳ معرفی می‌شود.

$$t = \operatorname{Arg MAX}\{w_0(t) \times [\mu_0(t)]^2 + w_1(t) \times [\mu_1(t)]^2\} \quad (13)$$

$$1 \leq t \leq L - 1$$

## ۵-۲ روش‌های تلفیق داده

در پژوهش حاضر جهت تلفیق داده‌های راداری و اپتیک به منظور بهبود تشخیص تغییرات در مناطق شهری از روش‌های تلفیق در سطح تصمیم گیری و یک روش پیشنهادی که در بخش ۳-۱-۳-۱ شرح داده شده است، استفاده گردید.

## ۵-۲-۱ روش تلفیق داده در سطح تصمیم گیری

روش رأی گیری یکی از پرکاربردترین روش‌های مطرح در تلفیق طبقه‌بندی‌کننده‌ها می‌باشد (and Kuncheva, 2003 and Kuncheva, 2004 Whitaker). در این روش تصمیم گیری طبقه‌بندی کننده به عنوان یک رأی در نظر گرفته می‌شود. ساده‌ترین حالت این روش که به عنوان یک روش بدون نظارت مطرح می‌باشد، روش حداقل رأی نام دارد.

در این روش فرض بر این است که همه طبقه‌بندی‌کننده‌ها دارای وزن و صحت یکسانی می‌باشند، از این رو تصمیم تمام طبقه‌بندی‌کننده‌ها برای یک نمونه ورودی با وزن یکسان در نظر گرفته شده و تصمیم با بیشترین رأی به عنوان کلاس برنده برای نمونه‌های ورودی معرفی خواهد شد (رابطه ۱۴). اگر  $D_i$ ،  $w_j$ ،  $c$  تعداد کلاس‌های موجود باشد، برای هر طبقه‌بندی کننده، بردار بعدی  $[d_{i1}, \dots, d_{ic}]$  در نظر گرفته می‌شود که مقادیر آن می‌توانند صفر یا یک باشند. بگونه‌ای که اگر طبقه‌بندی کننده مورد نظر نمونه ورودی را متعلق به کلاس مورد نظر دانست به آن مقدار یک و اگر متعلق ندانست مقدار صفر داده می‌شود.

$$\sum_{i=1}^L d_{i,k} = \max_{j=1}^L d_{i,j} \quad (14)$$

جهت تلفیق اختلاف  $n$  باند طیفی که حد آستانه بهینه آن‌ها مشخص شده است، دو کلاس تغییر یافته و

## فصلنامه علمی - پژوهشی اطلاعات جغرافیایی (۲۸۰)

روشی نوین در بهبود نتایج آشکارسازی ... / ۱۳

(۲) درصد پیکسل‌های تغییر نکرده‌ای که در کلاس تغییر جای گرفته<sup>(۱)</sup> (FA)، (۳) نسبت پیکسل‌های اشتباہ شناسایی شده به کل پیکسل‌ها داده‌ی ارزیابی<sup>(۲)</sup> (TE)، در آشکارسازی تغییرات مرسوم می‌باشد.

جدول ۲: ماتریس خطای برای دو کلاس

		نتایج واقعی	
		T	F
نتایج حاصل از طبقه‌بندی	T	TP	FP
	F	FN	TN

براساس ماتریس خطای سه پارامتر ME، FA، TE و صحت کلی و ضریب کاپا با استفاده از روابط (۲۲-۱۸) قابل برآورد می‌باشد.

$$ME = \left[ \frac{FN}{TP+FN} \right] \quad (18)$$

$$FA = \left[ \frac{FP}{FP+TN} \right] \quad (19)$$

$$TE = \frac{FN+FP}{TP+FN+FP+TN} \quad (20)$$

$$OA = \frac{TP+TN}{TP+FN+FP+TN} \quad (21)$$

$$K = \frac{n \sum_{i=1}^k n_{ij} - \sum_{i=1}^k n_{ii} n_{+i}}{n^2 - \sum_{i=1}^k n_{ii} n_{+i}} \quad (22)$$

در روابط فوق و ماتریس خطای TP تعداد پیکسل‌هایی که به عنوان کلاس تغییر به درستی طبقه‌بندی شده‌اند، TN تعداد پیکسل‌هایی که به عنوان کلاس بدون تغییر به درستی طبقه‌بندی شده‌اند، FN تعداد پیکسل‌های تغییر کرده‌ای که به عنوان کلاس بدون تغییر به اشتباہ طبقه‌بندی شده‌اند، FP تعداد پیکسل‌های تغییر نکرده‌ای که به عنوان کلاس تغییر به اشتباہ طبقه‌بندی شده‌اند، می‌باشد. در رابطه ارائه شده جهت برآورد ضریب کاپا،  $n$  تعداد کل پیکسل‌های مرتع،  $k$  تعداد کلاس‌ها،  $n_{jj}$  عضای قطری ماتریس خطای مجموع عناصر سطر نام و  $n_{++}$  مجموع عناصر ستون نام هستند.

شتاب ذره را به وسیله وزن دار کردن سرعت اولیه ذره کنترل می‌کند.  $X_{ij}$  موقعیت ذره  $i$  در بعد زمان  $t$  می‌باشد. pbest بهترین موقعیت خود ذره و gbest بهترین موقعیت حاصل شده توسط سایر ذرات را نشان می‌دهد.  $C_1$  و  $C_2$  ثوابت pbest مشیت شتاب هستند که جهت مقیاس گذاری در پارامتر pbest و gbest بکار می‌روند ( $r_1(t)$  و  $r_2(t)$ ) مقادیر تصادفی در بازه ۰۰ می‌باشد که از یک توزیع یکنواخت نمونه‌برداری شده است.

### ۷-۲- معیار ارزیابی صحت

ارزیابی نتایج طبقه‌بندی، یکی از مراحل مهم پس از فرایند طبقه‌بندی می‌باشد. یکی از بهترین روش‌ها جهت ارزیابی طبقه‌بندی استفاده از داده‌های واقعیت زمینی می‌باشد، که به اصطلاح به آنها نمونه‌های تست گفته می‌شود. از نمونه‌های تست، ماتریسی به نام ماتریس خطای جهت ارزیابی طبقه‌بندی استخراج می‌شود. نمونه‌ای از ماتریس خطای برای دو کلاس (مناطق تغییر یافته و بدون تغییر) در جدول ۲ نمایش داده شده است. از مهم‌ترین پارامترهای ارزیابی طبقه‌بندی که براساس ماتریس خطای محاسبه می‌شود، می‌توان به صحت کلی (OA) و ضریب کاپا (k) اشاره کرد.

صحت کلی برآورد کلی و جامعی از صحت طبقه‌بندی می‌باشد. این پارامتر از تقسیم مجموع عناصر روی قطر اصلی ماتریس خطای به تعداد کل پیکسل‌ها به دست می‌آید. ضریب ارزیابی کاپا، یک روش چند متغیره گستته آماری است که تفاوت بین ماتریس خطای حاصل از الگوریتم و ماتریس خطای ایده‌آل را مشخص می‌کند. محاسبه کاپا بر اساس اندازه‌گیری تفاوت بین تعداد پیکسل‌هایی که به درستی شناسایی شده‌اند و تعداد پیکسل‌هایی که به صورت نادرست تعیین شده‌اند انجام می‌شود. علاوه بر دو پارامتر، صحت کلی و ضریب کاپا جهت ارزیابی صحت طبقه‌بندی استفاده از سه پارامتر، (۱) درصد پیکسل‌های تغییر کرده‌ای که در کلاس بدون تغییر جای گرفته<sup>(۱)</sup> (ME)

2- False Alarm

3- Total Error

1- Missed Error

بکارگرفته شده در پژوهش حاضر در جدول ۳ قید شده است.

### ۳- مواد و روش تحقیق

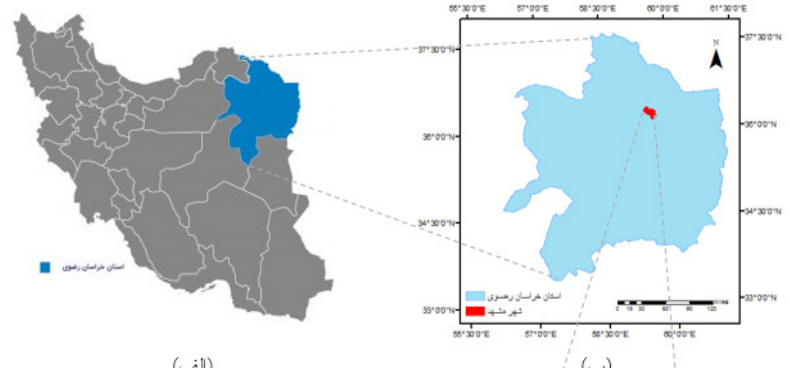
#### ۱- منطقه مورد مطالعه

شهر مشهد کلانشهری در شمال شرقی ایران و مرکز استان خراسان رضوی است. این شهر در طول جغرافیایی ۵۹ درجه و ۱۵ دقیقه تا ۶۰ درجه و ۳۶ دقیقه و عرض جغرافیایی ۳۵ درجه و ۴۳ دقیقه تا ۳۷ درجه و ۸ دقیقه واقع شده است (نگاره ۲الف، ب). محدوده مورد مطالعه، منطقه‌ای در شمال غربی این شهر می‌باشد، که در بازه زمانی سال ۲۰۱۶ تا سال ۲۰۱۸ تغییرات چشمگیری در پوشش آن ایجاد شده است (نگاره ۲ج، د).

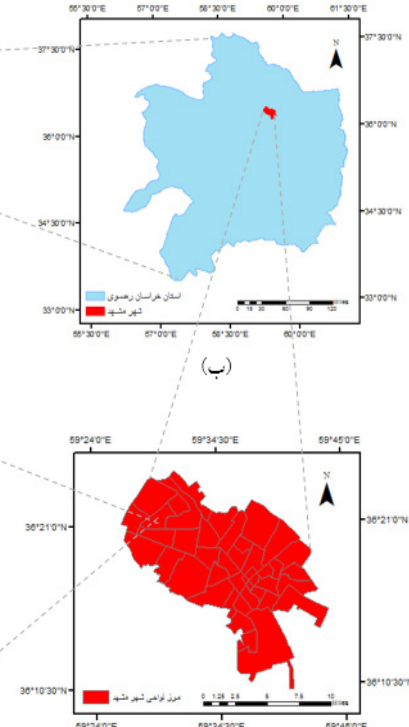
#### ۲- داده‌های مورد استفاده

داده‌های مورد استفاده جهت ارزیابی روش پیشنهادی می‌شوند. جهت تلفیق این ویژگی‌ها با هدف تشخیص تغییرات، از روش  $C^2VA$ <sup>۲</sup> که در بخش ۳-۲ (رابطه ۴) شرح داده شد، استفاده گردید. به صورت کلی ورودی این روش به دو دسته داده‌های راداری و اپتیکی تقسیم‌بندی می‌شوند. برای کاهش اثرات توپوگرافی و روشنایی تصویر و بالا بردن

تصاویر اپتیکی و رادار پیکسل به پیکسل با یکدیگر ادغام می‌شوند. جهت تلفیق این ویژگی‌ها با هدف تشخیص یک جفت تصویر چندطیفی که توسط ماهواره ستینل ۲ در تاریخ‌های ۲۰۱۶/۹ و ۲۰۱۸/۹، و یک جفت تصویر SAR ماهواره ستینل ۱ که در تاریخ‌های ۲۰۱۶/۹ و ۲۰۱۸/۹ از منطقه مورد مطالعه اخذ شده است، می‌باشد. باندها و قطبش‌های



(الف)



(ج)

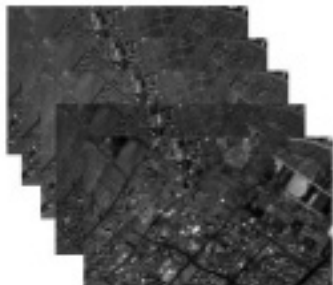
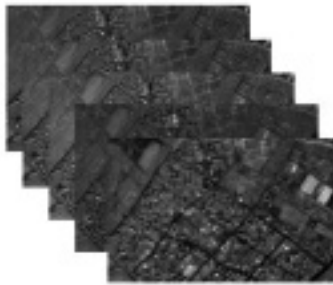
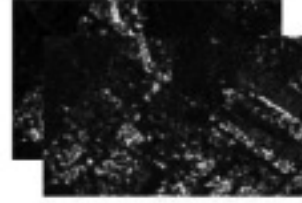
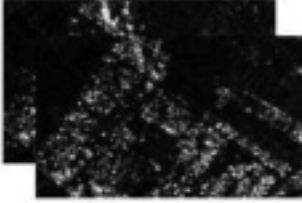
- نگاره ۲: (الف) کشور ایران،  
(ب) موقعیت استان خراسان رضوی،  
(ج) موقعیت شهر مشهد،  
(د) تصویر هوایی با ترکیب رنگی کاذب از محدوده مورد مطالعه

(د)

## فصلنامه علمی - پژوهشی اطلاعات جغرافیایی (میر)

روشی نوین در بهبود نتایج آشکارسازی ... / ۱۵

جدول ۳: داده‌های مورد استفاده

ماهواره	باندهای مورد استفاده	تصاویر اخذ شده در سال ۲۰۱۶	تصاویر اخذ شده در سال ۲۰۱۸
ستینل ۲	Blue Green Red NIR SWIR		
ستینل ۱	VV VH		

توجه به هدف پیش رو که برآورده وزن بهینه ویژگی‌های استخراج شده از تصاویر اپتیکی و رادار و در نهایت تلفیق این ویژگی‌ها و رسیدن به یک تصویر تک باندی است، هر ذره در این الگوریتم شامل وزن  $n$  ویژگی استخراج شده از تصاویر می‌باشد. تابع هدف مورد استفاده جهت ارزیابی ذرات، رابطه بیشینه سازی واریانس بین کلاسی (رابطه ۱۳)، روش حد آستانه‌گذاری OTSU است. آستانه‌گذاری OTSU، در زیر گروه روش‌های آستانه‌گذاری مبتنی بر خوشبندی، دسته‌بندی می‌شود. این متد به نوعی روشی برای بخش‌بندی تصویر بر اساس یافتن آستانه بهینه<sup>t</sup>، به نحوی که تصویر را به دو کلاس مجزا (سیاه و سفید) تقسیم نماید. منظور از آستانه بهینه در اینجا، یافتن مقداری از  $t$  است که حداکثر یکنواختی را در هر دو کلاس ایجاد کند و واریانس بین دو کلاس را بیشینه سازد. با توجه به این تابع، وزن هر ویژگی به نحوی انتخاب می‌شود که واریانس بین کلاسی، دو کلاس مناطق تغییر یافته و بدون تغییر به ماکریمم مقدار خود برسد و بهینه ترین حد آستانه برآورده شود.

در نهایت بعد از محاسبه پارامتر بزرگی تغییرات با استفاده از روش پیشنهادی (رابطه ۲۳)، از روش OTSU

امکان تشخیص و تفکیک عوارض از شاخص‌های طیفی به عنوان ورودی بخش اپتیک استفاده شد. شاخص‌های طیفی مورد استفاده که از باندهای تصاویر اخذ شده در زمان‌های t1 و t2 استخراج شده است، شامل شاخص‌های NDVI، SAVI، ARVI، NDWI، NDBI تشخیص در سه زمینه پوشش گیاهی، آب و مناطق مسکونی کارآمد می‌باشند. ورودی بخش داده‌های راداری، تصاویر نسبت نرمال شده می‌باشد که از قطبش‌های VV، VH که توسط سنجنده راداری در زمان‌های t1 و t2 اخذ شده‌اند، بدست می‌آید.

در ادامه با توجه به خصوصیات متفاوت ویژگی‌های ورودی به الگوریتم  $\text{C}^2\text{VA}$  برای کلیه ویژگی‌های ورودی یک وزن برآورده می‌شود. جهت برآورده وزن این ویژگی‌ها از الگوریتم توده ذرات (PSO) که در بخش ۶-۲ شرح داده شده است، استفاده گردید. جهت برآورده وزن بهینه با استفاده از الگوریتم توده ذرات دو جزء اساسی با نام‌های جمعیت و تابع هدف وجود دارد. جمعیت شامل تعدادی ذره بوده که هر کدام پتانسیل حل مسئله را دارند و تابع هدف جهت ارزیابی هر ذره مورد استفاده قرار می‌گیرد. با

اپتیک و رادار به طور مستقل، و تلفیق در سطح تصمیم گیری) استفاده شد. داده‌های واقعیت زمینی که شامل پیکسل‌های تغییر یافته و پیکسل‌های بدون تغییر می‌باشند، با مقایسه انجام شده بین داده‌های اپتیک اخذ شده در دو بازه زمانی، از سطح تصویر با پراکنده‌گی مناسب جمع آوری شد. از ماتریس خطای که حاصل مقایسه پیکسل‌های واقعیت زمین و پیکسل‌های متناظر در خروجی روش‌های آشکار سازی تغییرات است، ۵ پارامتر: OA, K, ME, FA, TE که در بخش ۷-۲ شرح داده شد، برای کلیه روش‌های مورد استفاده در این تحقیق برآورد شد.

#### ۴- نتایج و بحث

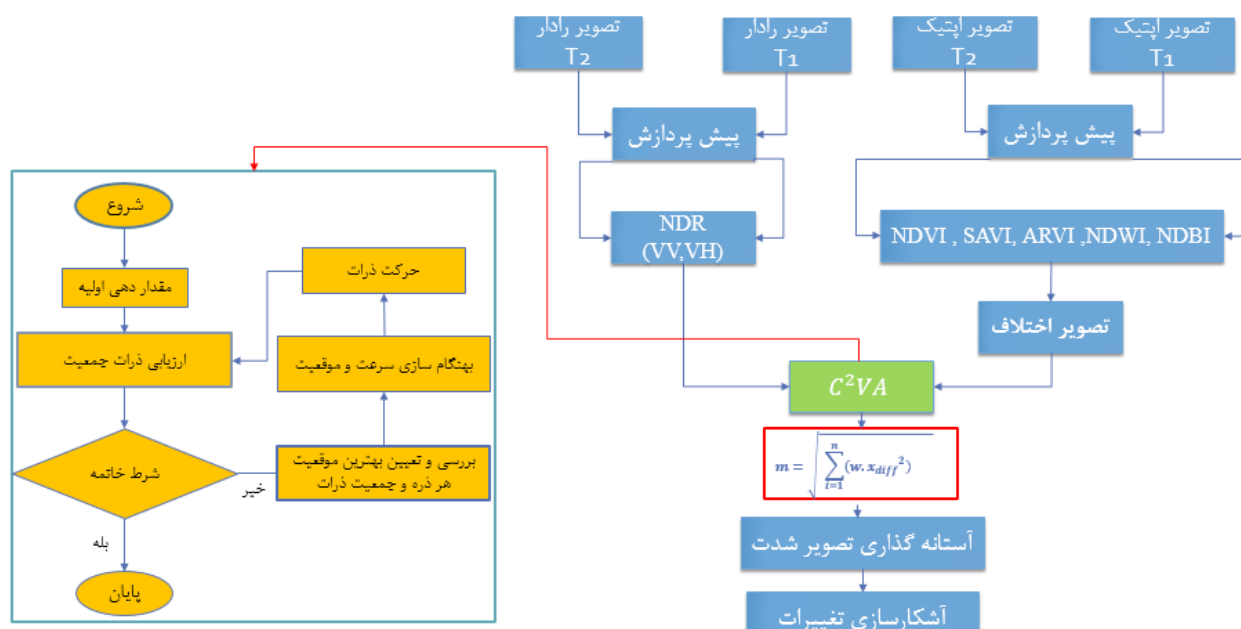
در موقع استفاده از تصاویر ماهواره جهت آشکارسازی تغییرات و تلفیق این نوع داده‌ها، پیش پردازش این تصاویر امری مهم و ضروری است. این پیش پردازشات اغلب شامل: کاهش ابعاد تصویر، تغییر سایز پیکسل‌ها، تصحیحات هندسی و تصحیحات رادیومتریکی می‌باشند. با توجه به هم سایز بودن پیکسل‌ها در باندهای مشابه و هم مرجع بودن دو تصویر اخذ شده سنتینل ۲، از تغییر سایز

جهت آستانه‌گذاری تصویر و تفکیک آن به دو کلاس تغییر یافته و بدون تغییر به صورت نظارت نشده، استفاده شد. مراحل روش پیشنهادی در فلوچارت نگاره ۳ ارائه شده است.

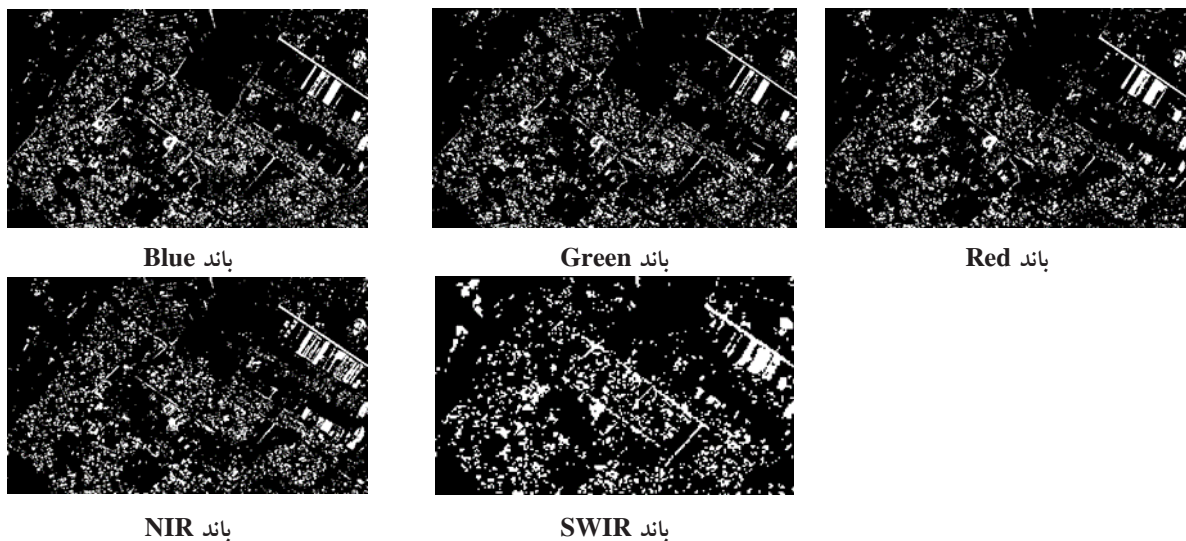
$$m = \sqrt{\sum_{i=1}^n (w_i x_{diff})^2} \quad ۲۳$$

در رابطه ۲۳،  $m$  نشان دهنده بزرگی تغییرات می‌باشد،  $x_{diff}$  بیانگر اختلاف یک باند یا ویژگی حاصل از تصاویر اخذ شده در زمان‌های  $t_2$  و  $t_1$  و  $i=1, \dots, n$  معرف تعداد باندهای طیفی یا ویژگی‌های مورد استفاده می‌باشد.  $w$  وزن برآورده شده با استفاده از الگوریتم PSO برای تصاویر اختلاف است.

برای ارزیابی عملکرد روش پیشنهادی آشکارسازی تغییرات، از یک سری داده واقعیت زمینی و مقایسه بین نتایج این روش با دیگر روش‌های تشخیص تغییرات بدون نظارت (اختلاف قدر مطلق باندهای طیفی، اختلاف قدر مطلق شاخص‌های طیفی، تصاویر نسبت نرمال شده حاصل از قطبش‌های راداری، روش  $C^2VA$  با بکارگیری داده‌های



نگاره ۳: فلوچارت روش پیشنهادی

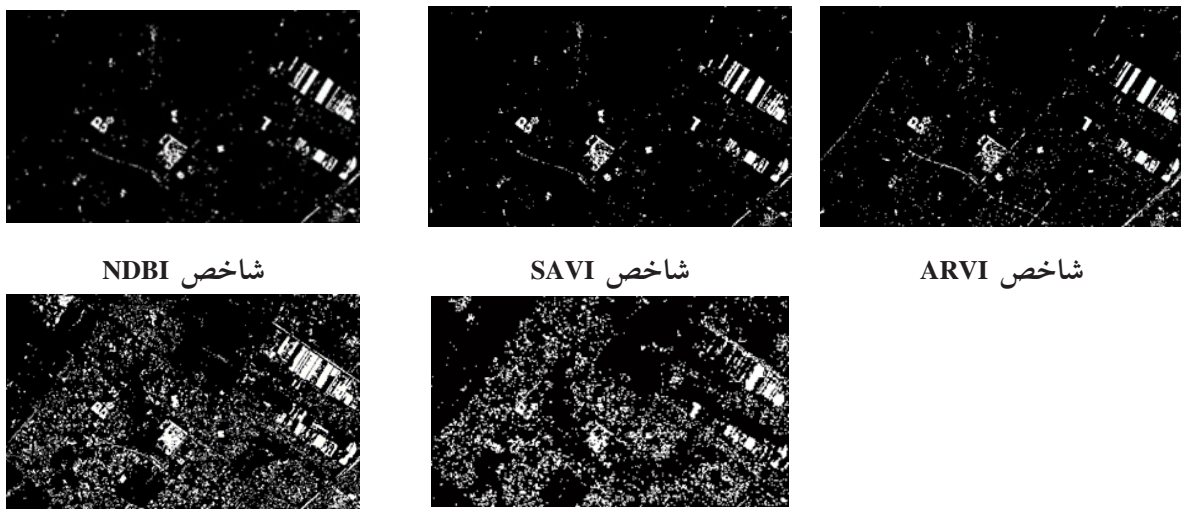


#### نگاره ۴: تصاویر باینری حاصل از حد آستانه‌گذاری بر روی تصاویر اختلاف قدر مطلق باندهای طیفی

درستی بر هم منطبق شوند. در پروسه آشکارسازی تغییرات صحت منطبق بودن تصاویر مورد استفاده نسبت به یک دیگر؛ تأثیر بسزایی در دقیق ترین خروجی خواهد داشت، این موضوع در مناطق شهری به دلیل وجود عوارض متعدد دوچندان می‌شود چراکه روش‌های مورد استفاده در این پژوهش پیکسل مینا بوده و شناسایی تغییرات بر مبنای کوچکترین واحد تصویر یعنی پیکسل صورت می‌گیرد. از این جهت منطبق بودن پیکسل‌های تصاویر نسبت به یکدیگر، امر مهم و ضروری است. بهمین منظور در این پژوهش سعی بر آن شد تا با بهترین دقیق ترین نسبت به یک دیگر منطبق شوند تا کمترین میزان تأثیر منفی را در نتایج خروجی داشته باشند. جهت ریجستر کردن تصاویر، نقاط کنترل مناسب از قسمت‌هایی مانند گوشش‌های عوارض و تقاطع راه‌ها در سطح تصاویر انتخاب گردید و با استفاده از مدل ریاضی پلینومیال درجه ۲، با دقیق بیش از  $0.5 \text{ Rmse}$  پیکسل ( $Rmse < 0.5$ ) نسبت به یک دیگر هم مرجع شدند. بعد از انجام پیش پردازشات لازم بر روی دادهای اپتیکی و رادار، ابتدا جهت تشخیص مناطق تغییر یافته از روش‌های متداول آشکارسازی تغییرات (اختلاف قدر مطلق باندهای طیفی، اختلاف قدر مطلق شاخص‌های طیفی)، تصاویر نسبت نرمال شده حاصل از قطبش‌های راداری، روش **VA<sup>2C</sup>** با

پیکسل‌ها و تصحیح هندسی این تصاویر صرف نظر شد. با توجه به استفاده همزمان باند SWIR در کنار دیگر باندها، همسان بودن رزولوشن مکانی امری ضروری است، به همین منظور با استفاده از نمونه برداری مجدد به روش درونیابی نزدیک‌ترین همسایگی، سایز پیکسل‌های  $20 \text{ متری}$  باند SWIR به  $10 \text{ متر کاهش}$  پیدا کرد. در ادامه جهت تصحیح رادیومتریک از الگوریتم تطابق هیستوگرام استفاده شد. در این روش هیستوگرام تصویر هدف با استفاده از هیستوگرام تصویر مرجع طوری تغییر داده می‌شود تا خصوصیات رادیومتریکی دو تصویر مشابه، و اختلاف بین مقادیر درجه خاکستری دو تصویر کاهش پیدا کند.

در مرحله پیش پردازش تصاویر رادار بعد از اعمال تصحیح رادیومتریکی، با استفاده از DEM منطقه، تصحیحات هندسی بر روی تصاویر اعمال شد. سپس برای حذف نویز اسپکل از فیلتر لی با کرنل سایز  $3 \times 3$  استفاده شد. تصاویر راداری اخذ شده در دو تاریخ ذکر شده دارای رزولوشن مکانی یکسان می‌باشند، ولی با رزولوشن تصاویر اپتیکی متفاوت بوده، لذا برای رسیدن به رزولوشن مکانی تصاویر اپتیک ( $10 \text{ متری}$ ) از نمونه برداری مجدد به روش نزدیک‌ترین تصاویر رادار استفاده شد. مرحله نهایی این بخش ریجستر کردن تصاویر رادار نسبت به تصاویر اپتیک می‌باشد تا تصاویر به



نگاره ۵: تصاویر باینری حاصل از حد آستانه گذاری بر روی تصاویر اختلاف شاخص‌های طیفی

شاخص‌های طیفی، صحت کلی در تشخیص تغییرات به مراتب بیشتر و تعداد پیکسل‌های اشتباه تشخیص داده شده کمتر خواهند شد. نتایج ارزیابی کمی این بخش (جدول ۷) و مقایسه آن‌ها با مقادیر ارجائی شده برای تصاویر اختلاف مطلق باندهای طیفی این بحث را اثبات می‌کند.

مناطق تغییر یافته‌ای که بوسیله روش NDR با قطبش‌های VV و VH مشخص شده، در نگاره ۶ نمایش داده شده است. با مقایسه نتایج ارزیابی کمی (جدول ۷) می‌توان پی برد که این روش که براساس تصاویر SAR پیاده سازی شده است، بخصوص برای قطبش VH، دارای صحت پایین تری در تشخیص تغییرات نسبت به تکینک‌های مورد استفاده بر اساس تصاویر اپتیک می‌باشد.

همانطور که ذکر شد، تغییرات متفاوت پوشش سطح زمین در قسمت‌های مختلف طیف الکترومغناطیس قابل شناسایی هستند، از این رو استفاده و بکارگیری همزمان تمامی باندها باعث بهبود در تشخیص تغییرات خواهد شد. روش **C<sup>2</sup>VA** این امکان را فراهم کرده تا از تمامی اطلاعات باندهای طیفی به صورت همزمان جهت تشخیص تغییرات استفاده شود. خروجی این روش که به صورت تصویر فشرده تک باندی است، بعد از اعمال حد آستانه به دو کلاس تغییر یافته و بدون تغییر تفکیک می‌شود.

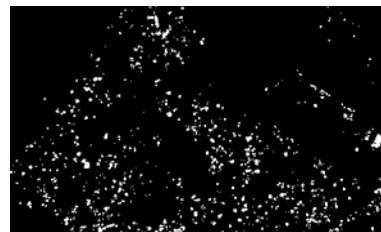
بکارگیری داده‌های اپتیک و رadar به طور مستقل، و تلفیق در سطح تصمیم‌گیری استفاده شد. خروجی اختلاف قدر مطلق باندهای SWIRBlue, Green, Red, NIR, بعد از اعمال حد آستانه OTSU به دو کلاس تغییر یافته و بدون تغییر تفکیک شده اند (نگاره ۴). مقایسه بصری تصاویر باینری این بخش نشان دهنده این است که تغییرات رخ داده در پوشش سطح زمین، توسط طول موج متفاوت و بالطبع در باندهای مختلف تصویر چندطیفی اخذ شده توسط سنجنده اپتیک، قابل شناسایی خواهد بود. با توجه به ارزیابی کمی صورت گرفته (جدول ۷) بر روی تصاویر باینری تولید شده بر مبنای روش اختلاف قدر مطلق باندهای طیفی، تصویر باینری که از باند ۳ (Red) بدست آمده، دارای صحت بالاتری نسبت به باندهای دیگر می‌باشد. در این تصویر نسبت پیکسل‌های اشتباه شناسایی شده به کل پیکسل‌های داده‌ی ارزیابی ۳۰ درصد است. که نسبت به سایر باندهای طیفی دارای مقادیر کمتری می‌باشد.

تصاویر حاصل از روش اختلاف قدر مطلق شاخص‌های طیفی که با استفاده از روش حد آستانه گذاری OTSU به دو کلاس تغییر یافته و بدون تغییر تفکیک شده اند در نگاره ۵ نمایش داده شده است. با توجه به کاهش نویز و تفکیک‌پذیری عوارض و پدیده‌ها در هنگام استفاده از

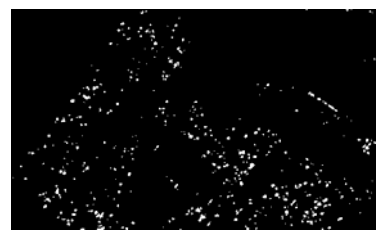
## فصلنامه علمی - پژوهشی اطلاعات جغرافیایی (میر)

روشی نوین در بهبود نتایج آشکارسازی ... / ۱۹

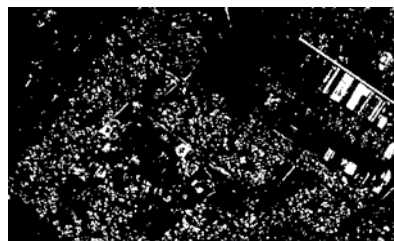
نگاره ۶: تصاویر باينری حاصل از حد آستانه گذاری بر روی تصاویر NDR حاصل از قطبش های رادار



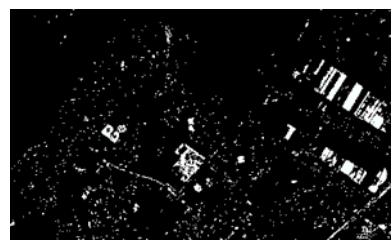
قطبش VH



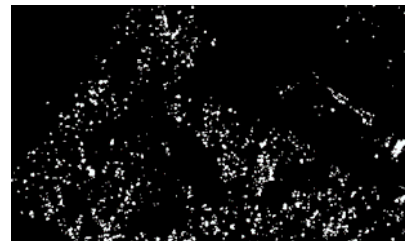
قطبش VV



الف



ب



ج

نگاره ۷: تصویر باينری حاصل از حد آستانه گذاری بر روی تصویر بزرگی تغییرات حاصل از روش  $C^2VA$  با بکارگیری تمامی باندهای طیفی (الف)، تمامی شاخص های طیفی (ب)، قطبش های رادار (ج)

شده به کل پیکسل های داده ارزیابی ۱۶/۸۴ درصد می باشد، که نسبت به بعضی از روش های بکار گرفته شده کاهش چشمگیری داشته است و نشان دهنده کارایی بالای این روش در آشکارسازی تغییرات نسبت به بعضی از روش های مورد استفاده در پژوهش فوق است.

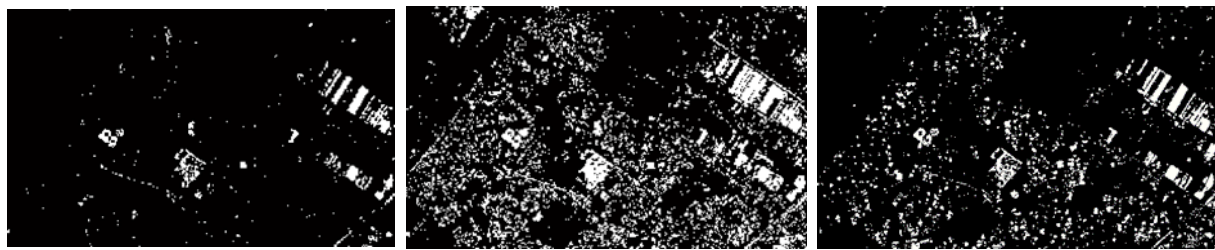
روش دوم مورد استفاده جهت تلفیق داده های اپتیک و رادار در سطح تصمیم گیری به منظور آشکارسازی تغییرات، رابطه ۱۵ ارائه شده در بخش ۵-۲ می باشد. ورودی این روش، شامل تصاویر اختلاف ۵ شاخص طیفی

(NDVI, SAVI, ARVI, NDWI, NDBI) و تصاویر اختلاف نرمال شده حاصل از قطبش های VV, VH می باشد که حد آستانه های بهینه آنها جهت جداسازی دو کلاس تغییر یافته و بدون تغییر با استفاده از روش حد آستانه گذاری OTSU مشخص شده است. تصویر خروجی این روش در نگاره (۸- ب) نمایش داده شده است، با بررسی و مقایسه نتیجه حاصل از این روش با ورودی های این بخش، می توان نتیجه گرفت که مناطق تغییر یافته ای که در تصویر حاصله از روش فوق مشخص شده اند، حاصل اجتماع مناطق تغییر یافته ۷ تصویر ورودی می باشد. بر همین اساس صحت

تصاویر باينری نگاره ۷، مربوط به خروجی روش  $C^2VA$  با به کارگیری باندهای طیفی (نگاره ۷ - الف)، شاخص های طیفی (نگاره ۷ - ب)، و قطبش های VV, VH (نگاره ۷ - ج) می باشد، که بعد از اعمال حد آستانه OTSU به دو کلاس تغییر یافته و بدون تغییر تفکیک شده اند. از مقایسه نتایج ارزیابی کمی (جدول ۷) می توان پی برد که صحت این روش نسبت به حالتی که از باندهای طیفی، شاخص های طیفی و قطبش های رادار به صورت تکی و جداگانه جهت تشخیص تغییرات استفاده می شود، بیشتر می باشد.

ابتدا جهت تلفیق داده های اپتیک و رادار در سطح تصمیم گیری از روش حداکثر رأی (رابطه ۱۴) استفاده گردید. تصویر خروجی این روش در نگاره (۸\_الف) نمایش داده شده است. نتایج ارزیابی کمی نشان دهنده صحت بالای روش مورد استفاده در تشخیص مناطق بدون تغییر می باشد به گونه ای که پیکسل های تغییر نکرده ای که در کلاس تغییر جای گرفته اند ۲/۸۶ درصد بوده که نشان دهنده این است که فقط ۲/۸۶ درصد از پیکسل های واقعیت زمینی اشتباه در کلاس مناطق تغییر جای گرفته اند.

در روش فوق، نسبت کل پیکسل های اشتباه شناسایی



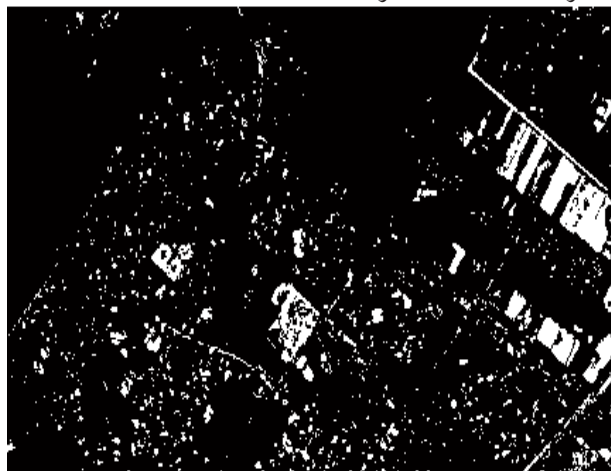
الف

ب

ج

نگاره ۸: تصویر باینری حاصل از تلفیق تصاویر باینری موجود در نگاره‌های ۱۵ و ۶ در سطح تصمیم‌گیری:  
با استفاده از رابطه ۱۴(الف) با استفاده از رابطه ۱۵(ب) تصویر باینری حاصل از تلفیق تصاویر باینری  
نگاره‌های ۷-ب و ۷-ج در سطح تصمیم‌گیری با استفاده از رابطه ۱۵(ج)

۴ درصد افزایش داشته و نسبت به روش تلفیق حداکثر رأی حدود ۱۴ درصد کاهش داشته است، که نشان‌دهنده کارایی بهتر این روش نسبت به روش تلفیق حداکثر رأی با استفاده از ۷ تصویر ورودی است. روش پیشنهادی به منظور آشکارسازی تغییرات پوشش زمین در پژوهش حاضر پیاده سازی و مورد ارزیابی گرفت. خروجی این روش در نگاره ۹ نمایش داده شده است. در این روش، تصویر اختلاف کلیه شاخص‌های طیفی و تصاویر نسبت نرمال شده قطبش‌های رadar به طور همزمان وارد الگوریتم  $C^2VA$  شده، و برای هر یک از این ویژگی‌ها با استفاده از الگوریتم PSO وزن برآورده شده است. خروجی این روش که به صورت تصویر تک باندی است بعد از اعمال حد آستانه OTSU، به دو کلاس مناطق تغییریافته و بدون تغییر تفکیک شد.

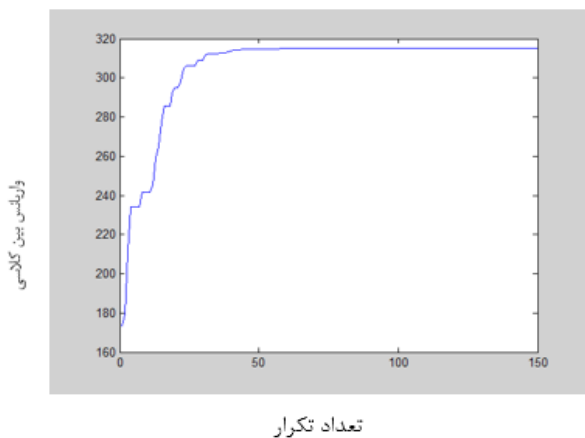


نگاره ۹: تصویر باینری حاصل از روش پیشنهادی

تشخیص مناطق تغییریافته در روش فوق افزایش پیدا کرده است، به گونه‌ای که پیکسل‌های تغییر کرده‌ای که در کلاس بدون تغییر جای گرفته‌اند، ۱۵/۸۲ درصد بوده که نسبت به روش‌های متداول مورد استفاده در پژوهش فوق کاهش چشمگیری داشته است. از سوی دیگر این روش تلفیق بکار گرفته شده جهت تشخیص تغییرات باعث افزایش درصد پیکسل‌های تغییر نکرده‌ای که در کلاس تغییر جای گرفته‌اند، شده است. که دلیل آن اجتماع پیکسل‌های تغییر کرده تصاویر ورودی می‌باشد. از این رو جهت کاهش درصد پیکسل‌های اشتباہ شناسایی شده، از تصاویر باینری تولید شده با استفاده از روش  $C^2VA$  مبتنی بر شاخص‌های طیفی و قطبش‌های رadar به عنوان داده‌های ورودی بخش اپتیک و رadar جهت تلفیق، استفاده شد. این دو تصویر با استفاده از رابطه ۱۵ با یک دیگر ادغام شدند. خروجی این روش توسط نگاره (۸-ج) نمایش داده شده است. ارزیابی بصری این خروجی همانند قبل نشان‌دهنده اجتماع دو تصویر باینری تولید شده با استفاده از روش  $C^2VA$  با بکارگیری شاخص‌های طیفی و  $C^2VA$  با بکارگیری قطبش‌های رadar می‌باشد. با ارزیابی کمی این روش که در جدول ۷ ارائه شده است، شاهد کاهش درصد پیکسل‌های تغییر نکرده‌ای که در کلاس تغییر جای گرفته‌اند، می‌باشیم (۱۴/۰۱ نسبت به ۲۰/۳۸). درصد پیکسل‌های تغییر کرده‌ای که در کلاس بدون تغییر جای گرفته‌اند، ۱۹/۰۳ درصد بوده که نسبت به حالت قبل که از ۷ تصویر ورودی استفاده شد، حدود

## فصلنامه علمی - پژوهشی اطلاعات جغرافیایی (میراث)

روشی نوین در بهبود نتایج آشکارسازی ... / ۲۱



نگاره ۱۰: روند همگرایی الگوریتم PSO جهت برآورد وزن‌های بهینه

نگاره ۱۰ روند همگرایی الگوریتم PSO جهت برآورد وزن بهینه ویژگی‌ها را نشان می‌دهد. همان طور که مشخص است الگوریتم بعد از تقریباً ۶۰ تکرار همگرا شده و مقادیر بهینه وزن‌ها برآورده شده است. در واقع از این تکرار به بعد، مقدار واریانس بین کلاسی ثابت و به ماکریم مقدار خود رسیده که برابر  $314/980$  می‌باشد. وزن‌های بهینه برآورده شده در جدول ۶ نشان داده شده است.

جدول ۶: وزن‌های بهینه برآورده شده با استفاده از الگوریتم PSO

وزن برآورده شده توسط الگوریتم PSO						
NDVI	ARVI	SAVI	NDBI	NDWI	NDR_VV	NDR_VH
0.836	0.742	0.1203	0.785	0.6327	0.534	0.571

در روش پیشنهادی میزان پیکسل‌های تغییر کرده‌ای که در کلاس بدون تغییر جای گرفته‌اند  $8/78$  درصد بوده، که نسبت به دیگر روش‌های متداول مورد استفاده کاهش داشته است. از طرف دیگر درصد پیکسل‌های تغییر نکرده‌ای که در کلاس تغییر جای گرفته‌اند  $9/55$  درصد بوده، که نسبت به بعضی از روش‌های مورد استفاده اندکی افزایش و نسبت به دیگر روش‌ها کاهش چشمگیری داشته است. به طور کلی در این روش  $9/21$  درصد پیکسل‌ها اشتباه

با توجه به بدون نظارت بودن پژوهش پیش رو، از رابطه بیشینه سازی واریانس بین کلاسی روش حد آستانه گذاری اتسو(جدول ۴) به عنوان تابع هدف مورد استفاده جهت ارزیابی ذرات و برآورد وزن بهینه در الگوریتم PSO استفاده شد.

جدول ۴: تابع هدف مورد استفاده در الگوریتم PSO

تابع هدف
$t = \text{ArgMax}[\mathbf{w}_0(t) * [\mu_0(t)]^2 + \mathbf{w}_1(t) * [\mu_1(t)]^2]$

دیگر پارامترهای در نظر گرفته شده برای الگوریتم PSO در جدول ۵ ارائه شده است. مقدار دو پارامتر  $\varphi_1, \varphi_2$  براساس بهینه ترین حالت برابر  $2/0/5$  در نظر گرفته شد.

جدول ۵: پارامترهای الگوریتم PSO جهت برآورد وزن‌های بهینه

شرط توقف	تعداد تکرار
تعداد مجھولات	۷
تعداد ذرات	۶
حد پایین (Var Min)	۰
حد بالا (Var Max)	۱
W=x	$X = \frac{2}{\varphi - 2 + \sqrt{\varphi^2 - 4 * \varphi}}$
ضریب اینرسی (W)	$\varphi = \varphi_1 + \varphi_2$ $\varphi \geq 4$ $\varphi_1, \varphi_2 > 0$
(ضریب یادگیری C1 شخصی)	$\chi * \varphi_1$
(ضریب یادگیری C2 جمعی)	$\chi * \varphi_2$
W dop	$0/99$
R1	عدد تصادفی با توزیع یکنواخت
R2	عدد تصادفی با توزیع یکنواخت

جدول ۷: صحت نتایج آشکارسازی تغییرات

ردیف (Row Number)	نمودار گلوبال (OA)	نمودار آشکارسازی از مطالعه (TE)	نمودار گلوبال تفاوت نسبتی (FA)	نمودار گلوبال تفاوت نسبتی (ME)	نمودار گلوبال تفاوت نسبتی (ME)	نمودار گلوبال تفاوت نسبتی (ME)	نمودار گلوبال تفاوت نسبتی (ME)
۰/ ۲۶۷۳	۶۴/ ۲۹	۳۵/ ۷۰۱۷۵۴۴	۲۵/ ۶۳۶۹۴۲۶۸	۴۸/ ۰۴۶۸۷۵	Blue	باندهای طیفی	اختلاف قدر مطلق
۰/ ۲۵۵	۶۳/ ۵	۳۶/ ۴۹۱۲۲۸۱	۲۸/ ۶۶۲۴۲۰۳۸	۴۷/ ۰۹۳۷۵	Green		
۰/ ۳۸	۷۰	۳۰	۲۲/ ۱۳۳۷۵۷۹۶	۳۹/ ۶۴۸۴۳۷۵	Red		
۰/ ۳۵۴	۶۸/ ۵۹	۳۱/ ۴۰۳۵۰۸۸	۲۱/ ۱۷۸۳۴۳۹۵	۴۳/ ۹۴۵۰۳۱۲۵	NIR		
۰/ ۳۰۴۹	۶۷/ ۱۴	۳۳/ ۶۸۴۲۱۰۵	۲۳/ ۸۸۵۳۵۰۳۲	۴۵/ ۷۰۳۱۲۵	swir		
۰/ ۶۶۱۲	۸۳/ ۶۸	۱۶/ ۳۱۵۷۸۹۵	۳/ ۰۲۵۴۷۷۷۰۷	۳۲/ ۶۱۷۱۸۷۵	NDVI	شاخص‌های طیفی	NDR
۰/ ۶۶۱۲	۸۳/ ۶۸	۱۶/ ۳۱۵۷۸۹۵	۳/ ۰۲۵۴۷۷۷۰۷	۳۲/ ۶۱۷۱۸۷۵	SAVI		
۰/ ۶۴۱۸	۸۲/ ۶۳	۱۷/ ۳۶۸۴۲۱۱	۶/ ۸۴۷۱۳۳۷۵۸	۳۰/ ۲۷۳۴۳۷۵	ARVI		
۰/ ۶۲	۸۱/ ۳۱۵	۱۸/ ۶۸۴۲۱۰۵	۱۴/ ۶۴۹۶۸۱۵۳	۲۳/ ۶۳۲۸۱۲۵	NDWI		
۰/ ۵۶	۷۸/ ۵۹	۲۱/ ۴۰۳۵۰۸۸	۱۹/ ۹۰۴۴۵۸۶	۲۳/ ۲۴۲۱۸۷۵	NDBI		
۰/ ۰۲۵	۵۳/ ۵۹۶۵	۴۶/ ۴۰۳۵۰۸۸	۴/ ۴۵۸۵۹۸۷۲۶	۹۷/ ۸۵۱۵۶۲۵	VH	شاخص‌های طیفی	C <sup>2</sup> VA
۰/ ۰۳۱۵	۵۵/ ۳۵۰۹	۴۴/ ۶۴۹۱۲۲۸	۱۰/ ۳۵۰۳۱۸۴۷	۸۶/ ۷۱۸۷۵	VV		
۰/ ۰۰۶	۵۶/ ۷۵	۴۳/ ۲۴۵۶۱۴	۶/ ۸۴۷۱۳۳۷۵۸	۸۷/ ۸۹۰۶۲۵	VH,VV		
۰/ ۴۳۸		۲۷/ ۶۳۱۵۷۸۹	۲۱/ ۰۱۹۱۰۸۲۸	۳۵/ ۷۴۲۱۸۷۵	پاند طیفی	تلفیق داده‌های رادار و اپتیک	C <sup>2</sup> VA
۰/ ۷۱۰۶	۸۵/ ۸۷۷۲	۱۴/ ۱۲۲۸۰۷	۶/ ۶۸۷۸۹۸۰۸۹	۲۳/ ۲۴۲۱۸۷۵	شاخص‌های طیفی		
۰/ ۶۴۹۸	۸۳/ ۱۵۷	۱۶/ ۸۴۲۱	۲/ ۸۶۶۲۴۲	۳۳/ ۹۸۴	سطح تصمیم گیری (رابطه ۱۴)		
۰/ ۶۳۲۶	۸۱/ ۶۶۳	۱۸/ ۳۳۳۳۳۳۳	۲۰/ ۳۸۲۱۶۵۶۱	۱۵/ ۸۲۰۳۱۲۵	سطح تصمیم گیری (رابطه ۱۵)	تلفیق داده‌های رادار و اپتیک	C <sup>2</sup> VA
۰/ ۶۶۶۶	۸۳/ ۵۰۸۸	۱۶/ ۴۹۱۲۲۸۱	۱۴/ ۰۱۲۷۳۸۸۵	۱۹/ ۰۳۱۲۵	سطح تصمیم گیری (رابطه ۱۵)		
۰/ ۸۱۴	۹۰/ ۷۹	۹/ ۲۱۰۵۲۶۳۲	۹/ ۵۵۴۱۴۰۱۲۷	۸/ ۷۸۹۰۶۲۵	روش پیشنهادی		

شناسایی شده که نسبت به روش پیشنهادی دیگر روش‌های داده‌های رادار و اپتیک و همچنین بکار گیری روش‌های بدون نظارت در بحث تشخیص تغییرات، به توسعه روشی بدون نظارت جهت تلفیق داده‌های رادار و اپتیک با هدف ۳ پارامتر اگر صحت کلی و ضریب کاپا را مورد بررسی قرار دهیم، مشخص خواهد شد که روش پیشنهادی با تشخیص تغییرات پرداخته شد.

روش پیشنهادی به عنوان یک روش بدون نظارت جهت تلفیق داده‌های راداری و اپتیک برای رسیدن به یک تصویر تک باندی با محتوای اطلاعاتی بالاتر و در نهایت تفکیک مناطق تغییر یافته و بدون تغییر مورد استفاده قرار گرفت.

۵- نتیجه گیری در پژوهش حاضر، با توجه به مزیت استفاده همزمان روش C<sup>2</sup>VA با بکارگیری داده‌های رادار و اپتیک امکان

## فصلنامه علمی - پژوهشی اطلاعات جغرافیایی (۲۸۰)

روشی نوین در بهبود نتایج آشکارسازی ... / ۲۳

پیکسل‌های تغییر نکرده‌ای که در کلاس تغییر جای گرفته<sup>(۳)</sup> نسبت پیکسل‌های اشتباه شناسایی شده به کل پیکسل‌ها داده ارزیابی<sup>(۴)</sup> صحت کلی طبقه‌بندی<sup>(۵)</sup> ضریب کاپا، برای کلیه روش‌های مورد استفاده در این تحقیق برآورد شد.

نتایج حاصله بیانگر قابلیت بالای روش پیشنهادی جهت آشکارسازی تغییرات با صحت بالا می‌باشد، به گونه‌ای که در روش پیشنهادی به طور کلی ۹/۲۱ درصد پیکسل‌ها اشتباه شناسایی شده که نسبت به روش پیشنهادی اول و دیگر روش‌های مورد استفاده دارای پایین‌ترین مقدار است.

### ۶- پیشنهادات

به منظور پیشبرد نتایج پژوهش حاضر پیشنهاد می‌شود، علاوه بر ویژگی‌های مورد استفاده از ویژگی‌های بافت استخراج شده از ماتریس<sup>(۶)</sup> GLCM جهت بهبود نتایج آشکارسازی تغییرات در منطقه شهری استفاده گردد. همچنین پیشنهاد می‌شود از سایر روش‌های حد آستانه‌گذاری به منظور تفکیک مناطق تغییر یافته و بدون تغییر، استفاده شده و مورد مقایسه قرار بگیرند.

### منابع و مأخذ

۱- اسدی، بنایان اول، جهان، فرید حسینی؛ سارا، محمد، محسن؛ علیرضا، ۱۳۹۷، مقایسه شاخص‌های مختلف طیفی پوشش گیاهی برای ارزیابی از دور شاخص سطح برگ گندم زمستانه در مشهد. بوم‌شناسی کشاورزی، ۱۰ (۳)، ۹۳۴-۹۱۳.

۲- اصغری سراسکانرود، جلیلیان، پیروزی نژاد، مددی، یادگاری؛ صیاد، روح الله، نوشین، عقیل؛ میلاد، ارزیابی شاخص‌های استخراج آب با استفاده از تصاویر ماهواره‌ای لندست (مطالعه موردي: رودخانه گاماسیاب کمانشاه). نشریه تحقیقات کاربردی علوم جغرافیایی، ۲۰ (۵۸)، ۵۳-۷۰.

۳- ایمانی، ابراهیمی، قلی نژاد، طهماسبی؛ جمال، عطاءالله، بهرام؛ پژمان، ۱۳۹۷، مقایسه دو شاخص NDVI و SAVI در

تلفیق داده‌ها و همچنین کاهش ابعاد داده از فضای n بعدی را به یک بعدی امکان پذیرساخت. ورودی این روش شامل ۲ دسته داده رadar و اپتیک می‌باشد، داده‌های اپتیک شامل ۵ شاخص طیفی (NDBI، NDVI، SAVI، ARVI، NDWI) که از تصاویر ستینل ۲ که در دو بازه زمانی ۹/۲۰۱۸، ۹/۲۰۱۶ و ۹/۲۰۱۸ استخراج شده است.

داده‌های راداری شامل تصاویر نسبت نرمال شده (NDR) که از قطبش‌های VV، VH ماهواره ستینل ۱ در دو بازه زمانی ۹/۲۰۱۶ و ۹/۲۰۱۸ بدست آمده است. در ادامه برای کلیه ویژگی‌های ورودی به بخش **C<sup>2</sup>VA**، یک وزن توسط الگوریتم توده ذرات (PSO) برآورد شد. با توجه به بدون نظارت بودن پژوهش فوق، تابع هدف مورد استفاده جهت ارزیابی ذرات، رابطه بیشینه سازی واریانس بین کلاسی روش حد آستانه‌گذاری OTSU است. با توجه به این تابع، وزن هر ویژگی به نحوی انتخاب می‌شود که واریانس بین کلاسی، دو کلاس مناطق تغییر یافته و بدون تغییر به ماقریم مقدار خود برسد و بهینه ترین حد آستانه برآورد شود.

در نهایت بعد از اعمال وزن‌ها برروی ویژگی‌ها و برآورد تصویر شدت تک باندی، دو کلاس مناطق تغییر یافته و بدون تغییر با استفاده از روش حد آستانه‌گذاری OTSU از یکدیگر تفکیک می‌شوند.

جهت ارزیابی عملکرد روش فوق در تشخیص تغییرات از یک سری داده واقعیت زمینی و مقایسه بین نتایج این روش با دیگر روش‌های تشخیص تغییرات بدون نظارت (اختلاف قدر مطلق باندهای طیفی، اختلاف قدر مطلق شاخص‌های طیفی، تصاویر نسبت نرمال شده حاصل از قطبش‌های راداری، روش **C<sup>2</sup>VA** با بکارگیری داده‌های اپتیک و رadar به طور مستقل، و تلفیق در سطح تصمیم‌گیری) استفاده شد. از ماتریس خطأ که حاصل مقایسه پیکسل‌های واقعیت زمین و پیکسل‌های متناظر در خروجی روش‌های آشکارسازی تغییرات است، ۵ پارامتر: ۱) درصد پیکسل‌های تغییر کرده‌ای که در کلاس بدون تغییر جای گرفته ۲) درصد

- methods. ISPRS Journal of Photogrammetry and Remote Sensing, 71, 86-95.
- 12-Engelbrecht, P., 2007, Computational intelligence: an introduction. Wiley online library.
- 13-İlsever, M., & Ünsalan, C. 2012, Two-Dimensional Change Detection Methods, (No. Ed. 1), Springer, London.
- 14-Jantz,C.J.,S.J.Goetz,A.J.Smith, and M. Shelly .2003, Using the SLEUTH Urban growth model to simulate the impacts of future policy scenarios on land use in the Baltimore - Washington metropolitan area, Environment and Planning.
- 15-Jat, M. K., Garg, P. K., Khare, D.2008, Monitoring and modelling of urban sprawl using remote sensing and GIS techniques. International journal of Applied Earth Observation and Geoinformation,10(1), 26-43.
- 16-Karnieli, A.; Qin, Z.; Wu, B.; Panov, N.; Yan, F.2004, Spatio-Temporal Dynamics of Land-Use and LandCover in the Mu Us Sandy Land, China, Using the Change Vector Analysis Technique. Remote Sens, 9316-9339.
- 17-Kuncheva, Ll., Whitaker, C. J. 2003, Measures of diversity in classifier ensemble and their relationship with the ensemble accuracy, Machine Learning, 51(2), pp. 181-207.
- 18-Kuncheva, L.2004,Combining Pattern Classifiers methods and algorithms, A John Wiley&sons, INC. publication, Hoboken, New jersey. Canada.
- 19-Luo, H.; Liu, C.; Wu, C.; Guo, X. 2018, Urban Change Detection Based on Dempster-Shafer Theory for Multitemporal Very High-Resolution Imagery. Remote Sens, 10, 980.
- 20-Malila, W. A. ,1980, Change Vector Analysis:An Approach for Detecting Forest Changeswith Landsat, Proceedings, 6th AnnualSymposium on Machine Processing of Remotely Sensed Data, Purdue University, 326-335.
- 21-Mhangara, P.,& Odindi, J. 2013, Potential of texture-based classification in urban landscapes using multispectral aerial photos. South African Journal of

- سه جامعه گیاهی مختلف با شدت نمونه برداری متفاوت (مطالعه موردی: مراعع اطراف تالاب چغاخور چهارمحال و بختیاری). تحقیقات مرتع و بیابان ایران، ۱۵۲، ۱۶۹-۱۳۹۳
- ۴- شکرالهی، صاحبی، عبادی؛ مهین، محمودرضا، حمید؛ طبقه‌بندی پوشش زمین. پایان نامه کارشناسی ارشد، دانشگاه صنعتی خواجه نصیرالدین طوسی، دانشکده مهندسی نقشه برداری.
- ۵- کریمی، رنگزمن، اکبریزاده، کابلیزاده؛ دانیا، کاظم، غلامرضا، مصطفی؛ ۱۳۹۵، طبقه‌بندی تجمعی اهداف با استفاده از تلفیق تصاویر SAR و اپتیک. پایان نامه کارشناسی ارشد، دانشگاه شهید چمران اهواز، دانشکده علوم زمین.
- ۶- مناطقی، طولدان زوج، م. مقصودی مهرانی، شناسایی تغییرات ساختمان‌ها پس از زلزله با استفاده از تلفیق تصاویر نوری و راداری. پایان نامه کارشناسی ارشد، دانشگاه صنعتی خواجه نصیرالدین طوسی، دانشکده مهندسی نقشه برداری.
- ۷- نجفی، حسنلو؛ امیر، مهدی، ۱۳۹۷، آشکارسازی تغییرات کاربری اراضی با استفاده از تصاویر تمام قطبیه راداری و روش‌های جبری، فاصله و شباهت مبنا. مهندسی فناوری اطلاعات مکانی، ۱۴۳-۱۶۳.
- ۸- نیمروزی، نوروز. ۱۳۸۹، بررسی پیامدهای حاشیه نشینی بر نظام فرهنگی مشهد. کنفرانس برنامه ریزی و مدیریت شهری مشهد، دانشگاه فردوسی، ۸۸-۷۳.
- 9-Abdelaziz-Azzouzi, S., Pantaleoni, V, Adda-Bentounes, H., 2018, Monitoring desertification in Biskra, Algeria using Landsat 8 and Sentinel-1A images, IEEE Access,1-12.
- 10-Bovolo,F. Marchesi, S. Bruzzone,L.2012, A framework for automatic and unsupervised detection of multiple changes in multitemporal images. IEEE Trans. Geosci. Remote Sens, vol. 50, no. 6, pp. 2196–2212.
- 11-Chen, X., Chen, J., Shi, Y.,& Yamaguchi, Y.2012, An automated approach for updating land cover maps based on integrated change detection and classification

## فصلنامه علمی - پژوهشی اطلاعات جغرافیایی (جغرافیا)

روشی نوین در بهبود نتایج آشکارسازی ... / ۲۵

- 32--Zhang, B.Chen,K. Zhou,Y. Xie,M. Zhang,H ,2010, Research on Change Detection in Remote Sensing Images by using 2D-Fisher Criterion Function Method”, ISPRS TC VII Symposium. Science, 109, 1-8.
- 22-Mishra B,Sasaki J , 2014, OPTICAL AND SAR DATA INTEGRATION FOR AUTOMATIC CHANGEPATTERN DETECTION, ISPRS Annals of the Photogrammetry, Remote Sensing and Spatial InformationSciences,39-46.
- 23.-Otsu, N,1979, A threshold selection method from gray-level histogram”, IEEE Trans. Systems Man Cybernet, vol. 9, pp. 62-66.
- 24-Poli, Kennedy,j, and Blackwell, T,2007, Particle swarm optimization”, Swarm intelligence, vol. 1, No. 1, pp. 33–57.
- 25-Radke, R. J., Andra, S., Al-Kofahi, O.,& Roysam, B.2005, Image change detection algorithms: a systematic survey. Image Processing, IEEE Transactions on, 14(3), 294-307.
- 26-Sallaba, F. 2009, Potential of a Post-Classification Change Detection Analysis to Identify Land Use and Land Cover Changes. A Case Study in Northern Greece.
- 27-Xie, M.,& Fu, M.2011, The temporal dynamics of urban heat islands derived from thermal remote sensing data by local indicator of spatial association in Shenzhen, China. Paper presented at the International Conference on Photonics and Image in Agricultural Engineering.
- 28-Xu, H., Wang, X., Xiao, G.2000, A remote sensing and GIS integrated study on urbanization with its impact on arable lands: Fuqing City, Fujian Province, China. Land Degradation & Development, 11(4), 301-314.
- 29-Xue, J. Su, B. 2017, Significant Remote Sensing Vegetation Indices: A Review of Developments and Applications, Journal of Sensors, 2017(1), 1-17.
- 30-Yousif O, Ban Y, 2017, Fusion of SAR and Optical Data for Unsupervised Change Detection: A Case Study inBeijing,Joint Urban Remote Sensing Event (JURSE).
- 31-Zha, y. Gao, j. ni, s. 2003, Use of normalized difference built-up index in automatically mapping urban areas from TM imagery, International Journal of Remote Sensing,24(3), 583-594.

